



Научно-координационная сессия  
«Исследования неидеальной плазмы»  
30/11–01/12, 2009, Москва

---

# Термодинамика немолекулярного азота при высоких температурах и плотностях

Е.С.Якуб <sup>1)</sup>, Л.Н.Якуб <sup>2)</sup>

<sup>1)</sup>Одесский государственный экономический ун-т

<sup>2)</sup>Одесская государственная академия холода

Одесса , Украина



# Немолекулярный азот: история

- A.K.McMahan & R.LeSar (1985)
  - R.M.Martin & R. J.Needs (1986)
- } **теоретическое предсказание**
- W.J.Nellis ea (1986). - **аномалия на ударной адиабате**
  - C. Mailhiot, L.H.Yang, & A.K.McMahan (1992) - CG структура
  - E.S.Yakub (1993) – расчет ударных адиабат (липкие сферы)
  - L.N.Yakub (1993) – расчет перехода твердого N<sub>2</sub> в полимерный A7
  - M. Eremets, R.J.Hemley, and H.-K.Mao (2001) – проводимость
  - L.N.Yakub (2001,2003,2005) – расчеты Monte Carlo – CG полимер  
-отрицательное тепловое расширение
  - E. Gregoryanz,A.F.Goncharov,R.J.Hemley,H-K.Mao,e.a.(2002)  
-аморфный полимерный азот при мегабарных давлениях
  - L.N.Yakub (2009) – расчет энтропии аморфного полимерного азота

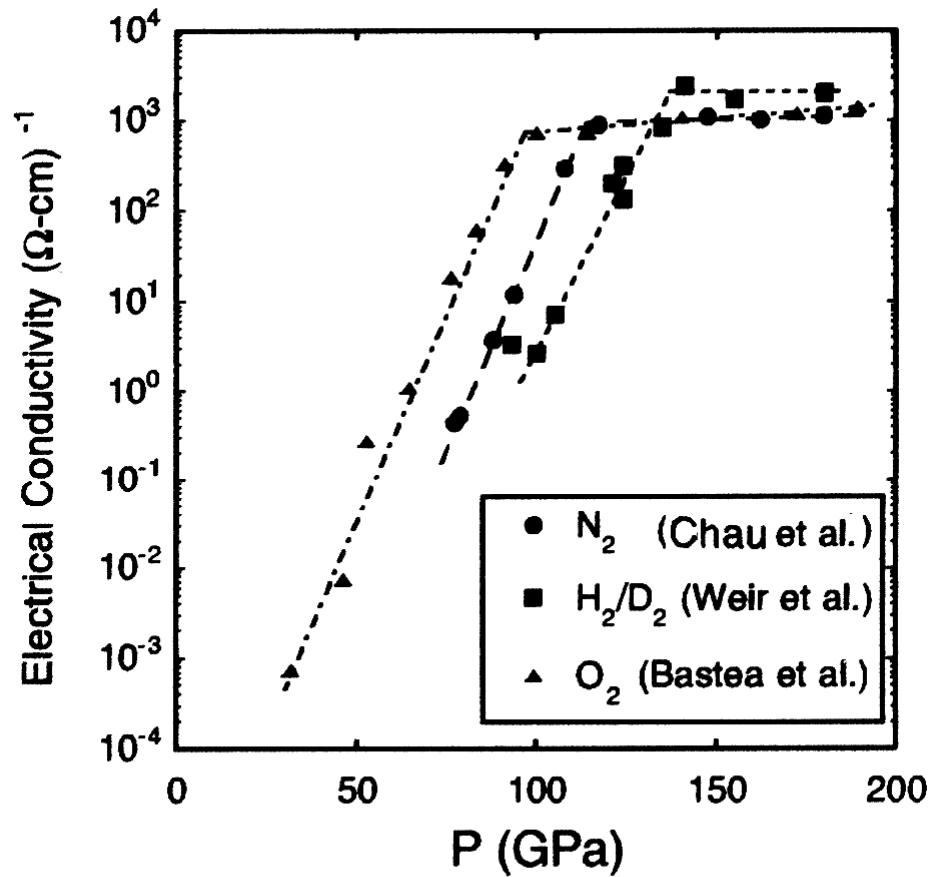
# Динамический эксперимент



- легкогазовая пушка
- взрывной генератор
- лазер

- **2003:** R.Chau, R.C.Mitchell, R.W.Minich, & W.J.Nellis. Metallization of the fluid nitrogen and the Mott transition in highly compressed low-Z fluids. *Phys.Rev.Lett.*, **90**, 245501
- **2007:** M.J.Lipp, J.P.Klepeis, B.J.Baer, H.Cynn, W.J.Evans, V.Iota, & C.-S.Yoo. Transformation of molecular nitrogen to nonmolecular phases at megabar pressures by direct laser heating. *Phys.Rev. B* **76**, 014113
- **2008:** R.F.Trunin, G.V.Boriskov, A.I.Bykov, A.B.Medvedev, G.V.Simakov & A.N.Shuikin. Shock compression of liquid nitrogen at a pressure of 320 GPa. *JETP Letters* **88**, 189
- ...

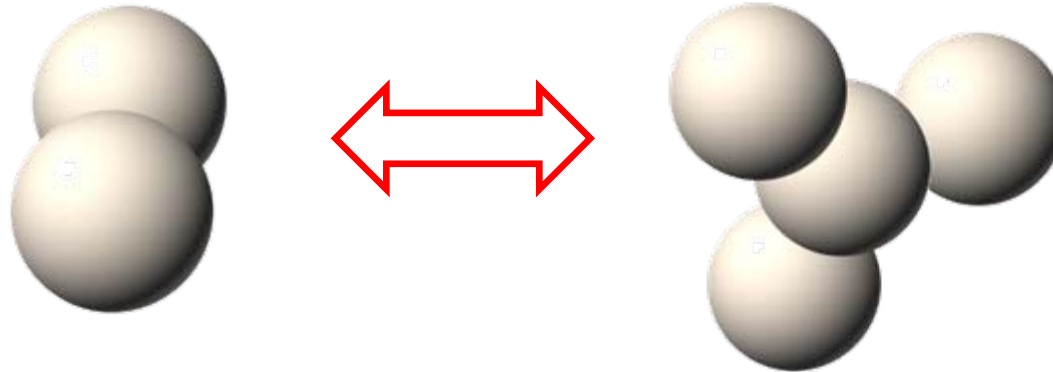
# Динамический эксперимент



The electrical conductivity of fluid N, H, and O

R.Chau,R.C.Mitchell,R.W.Minich,W.J.Nellis *Phys.Rev.Lett.*,**90**,245501 (2003)

# Простые модельные уравнения состояния



жесткие гантели + липкие сферы  $\nu = 3$

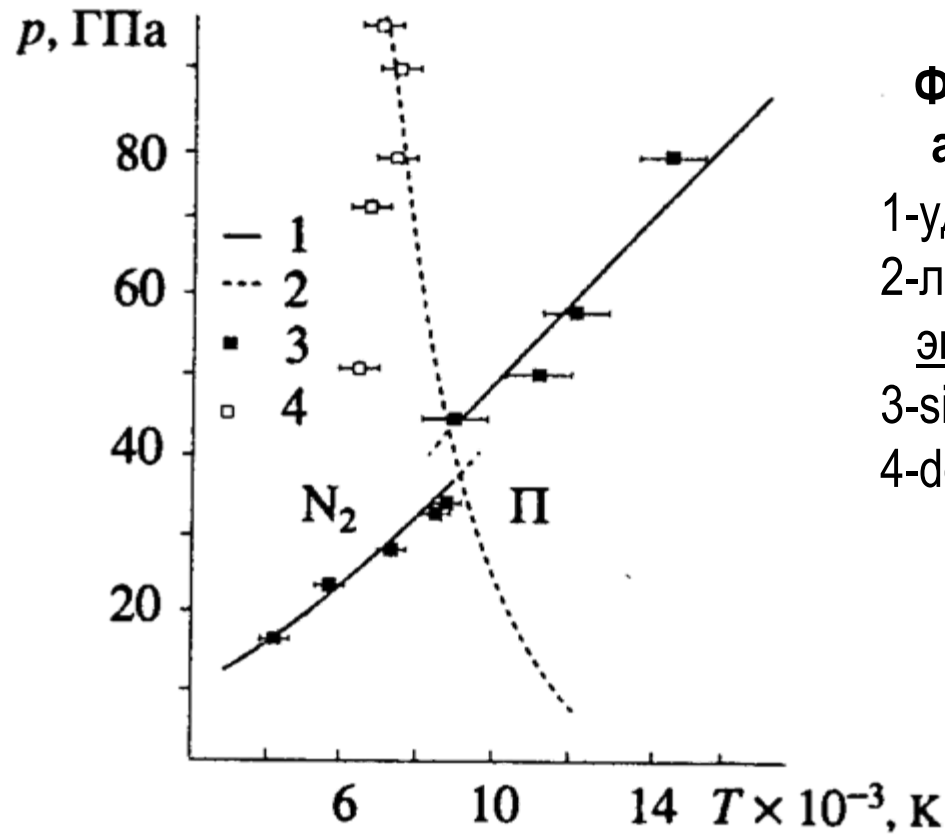
$$Z_{poly} = Z_{mol} - \eta \frac{3}{(1-\eta)^2}$$

**NB!** —тепловое расширение может быть отрицательно!

Е.С.Якуб, ЖФХ. 87, 305 (1993)

# Простые модельные уравнения состояния

Первые оценки параметров перехода молекулярной фазы в полимерную



**Фазовая диаграмма  
азотного флюида:**

- 1-ударная адиабата
- 2-линия равновесия фаз  
эксп-т: Nellis ea (2001)
- 3-single shock
- 4-double shock

Е.С.Якуб, ЖФХ. 87, 305 (1993)

# Простые модельные уравнения состояния

Первые оценки параметров перехода молекулярной в полимерную фазу

Solid(N <sub>2</sub> )-Solid(A7)[1]		Fluid-Fluid [2]	
T, K	P, GPa	T, K	P, GPa
300	75	5000	210
500	80	6000	110
1000	110	7000	60
2000	165	8000	33
3000	230	9000	20
4000	285	10000	12
		11500*)	6

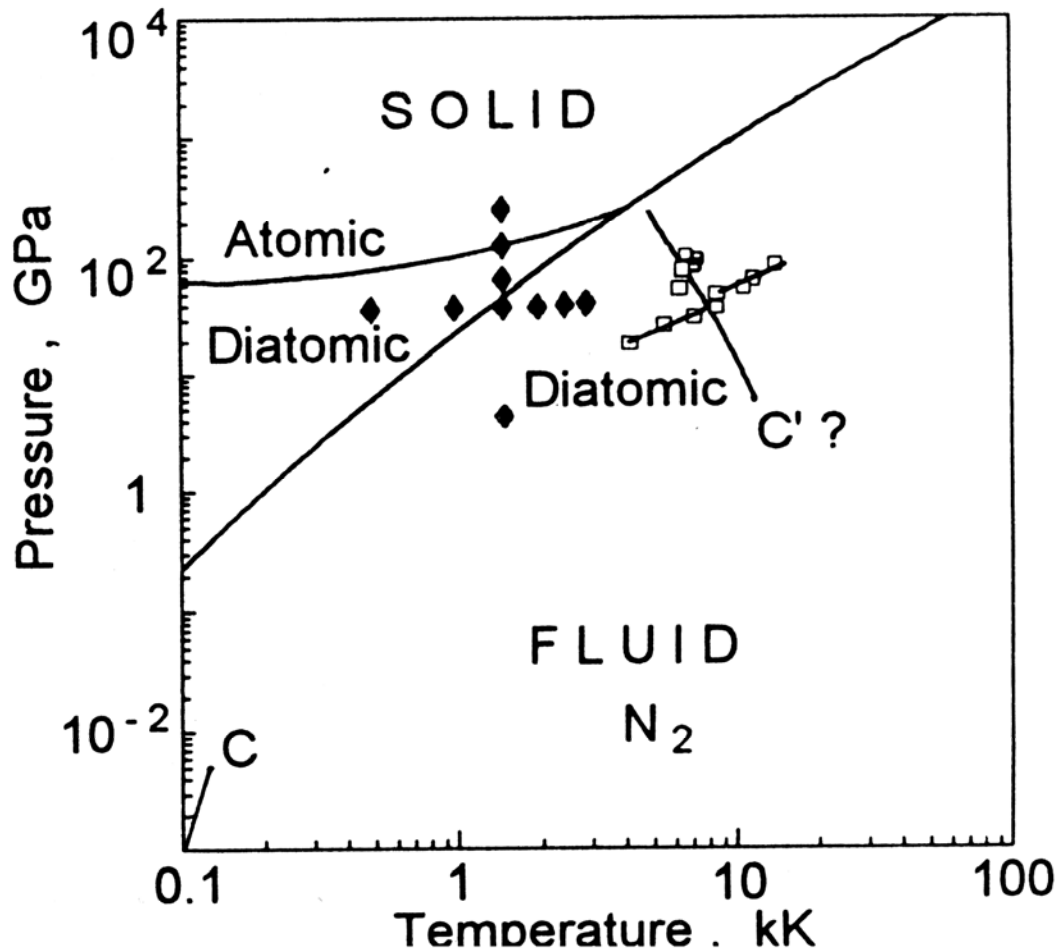
\*) Critical point

[1] L.N.Yakub, *Low Temp. Phys.* **19**, (1993) 531

[2] E.S.Yakub, *Low Temp. Phys.* **20**, (1994) 622

# Простые модельные уравнения состояния

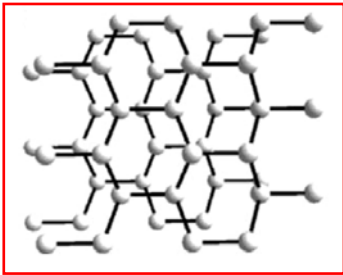
Первые оценки параметров перехода молекулярной фазы в полимерную



E.S.Yakub, *Low Temp. Phys.* 20, 622(1994)



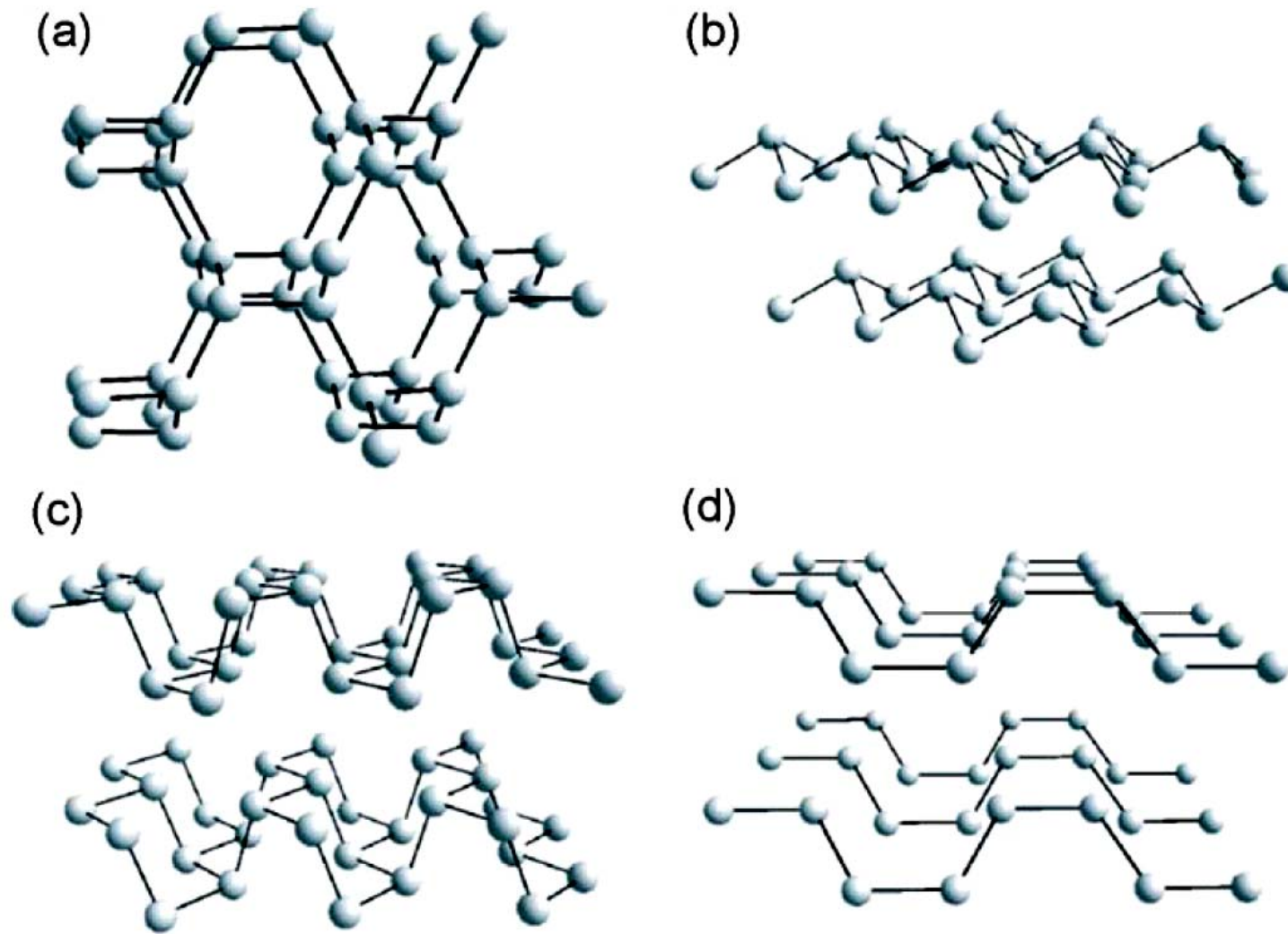
# Расчеты *ab initio*



- статические расчеты
- Монте-Карло QMC (PIMC, VMC, DMC, ...)
- молекулярная динамика CPMD (DFT-LGA, -GGA, ...)

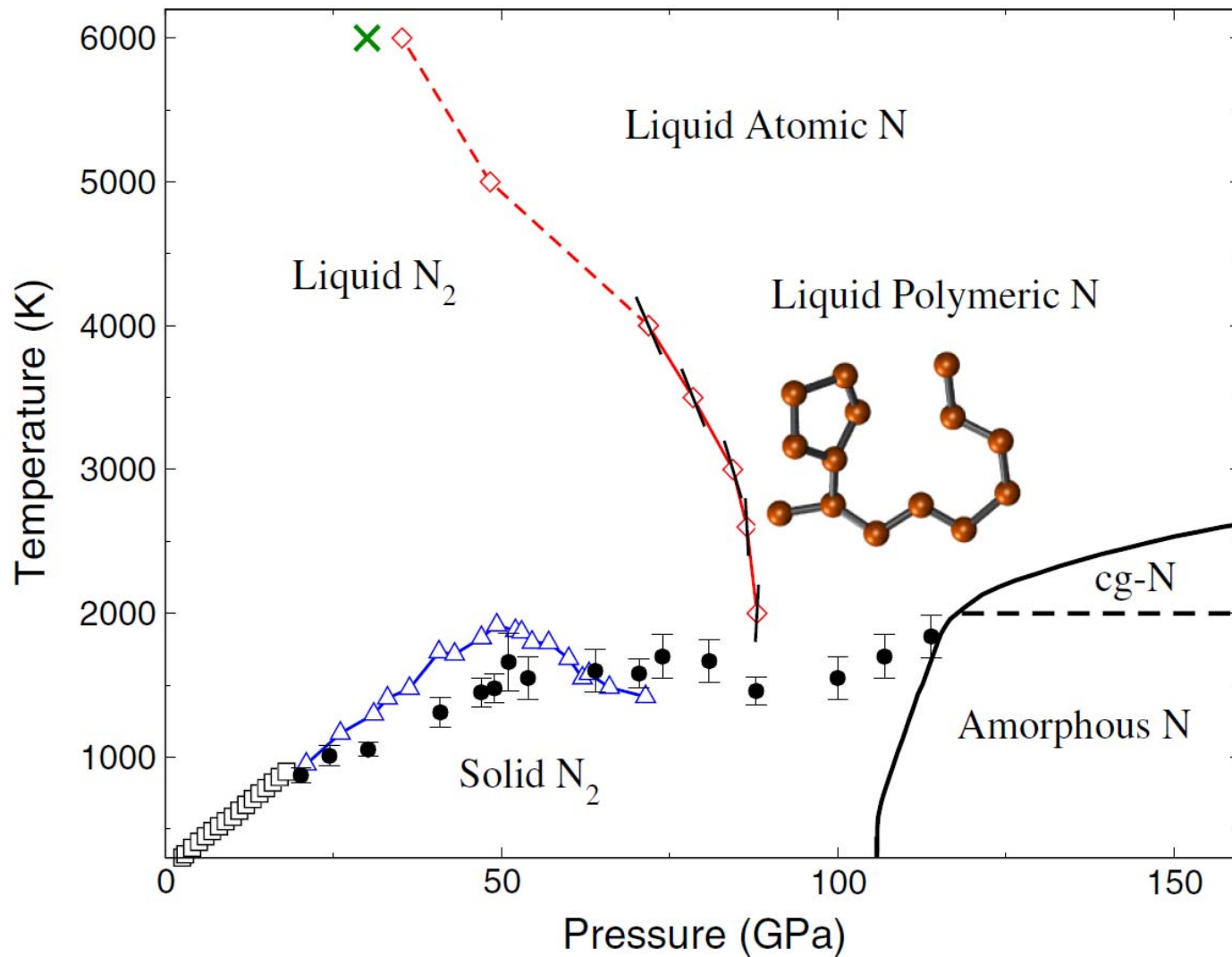
- **2004:** W.D.Mattson, D.Sanchez-Portal, S.Chiesa, & R.M. Martin. Prediction of New Phases of Nitrogen at High Pressure from First-Principles Simulations. *Phys.Rev.Lett.* **93**, 125501
  - rich variety of competing phases very close in energy to the CG phase
- **2005:** F.Zahariev, A.Hu, J.Hooper, F.Zhang, & T.Woo. Layered single-bonded non-molecular phase of nitrogen from first-principles simulation. *Phys.Rev.B* **72**, 214108
  - two-dimensional layers of fused  $N_6$ -rings
- **2009:** B.Boates & S.A.Bonev. First-Order Liquid-Liquid Phase Transition in Compressed Nitrogen. *Phys.Rev.Lett.* **102**, 015701
  - liquid-liquid phase boundary and a critical point between 4000 and 5000 K

# Расчеты *ab initio*



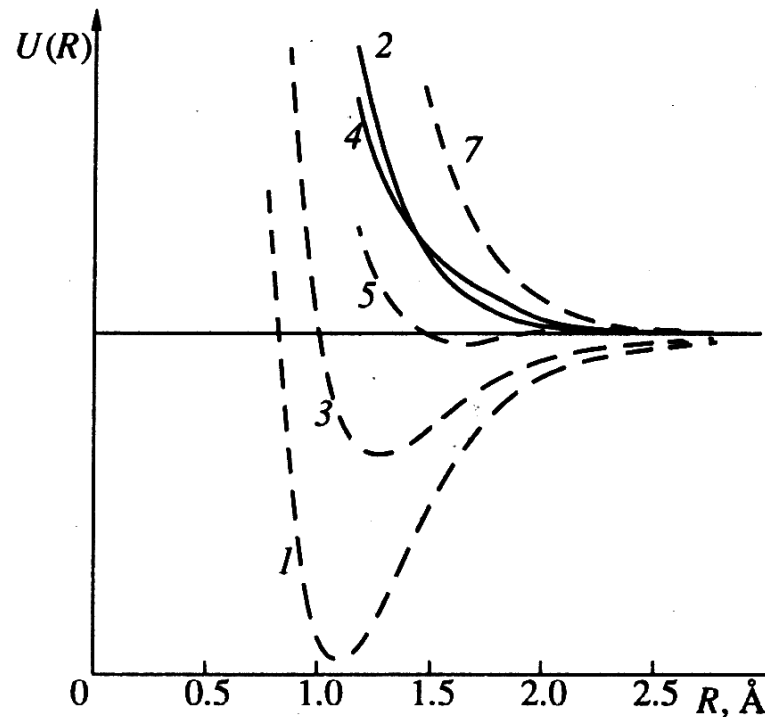
F.Zahariev,A.Hu,J.Hooper,F.Zhang,&T.Woo. Phys.Rev. B 72,214108 (2005 )

# Ab initio MD



B.Boates,S.A.Bonev,*Phys.Rev.Lett.*,102,015701(2009)

# Расчеты Монте-Карло

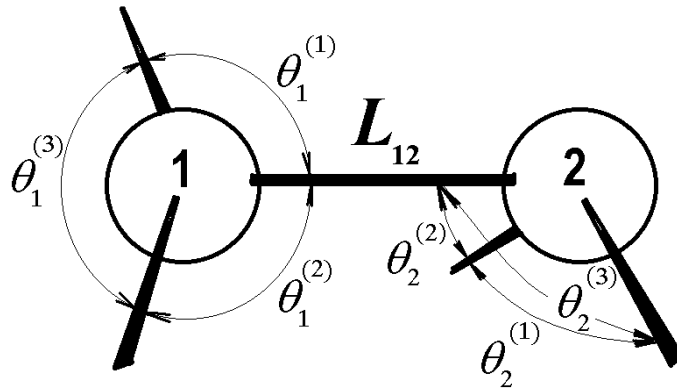


$$\Phi(r) = \frac{1}{16} U({}^1\Sigma_g^+ | r) + \frac{3}{16} U({}^3\Sigma_u^+ | r) + \frac{5}{16} U({}^5\Sigma_g^+ | r) + \frac{7}{16} U({}^7\Sigma_u^+ | r)$$

$$\Phi(R) = A R^{-13/2}$$

Е.С.Якуб, ТВТ, 33, 693 (1995)

# Расчеты Монте-Карло



$$U_N = \sum_{\text{non-bonded atoms}} \Phi(r_{ij}) + \sum_{\text{bonded atoms}} U(L_{ij}, \theta_i, \theta_j)$$

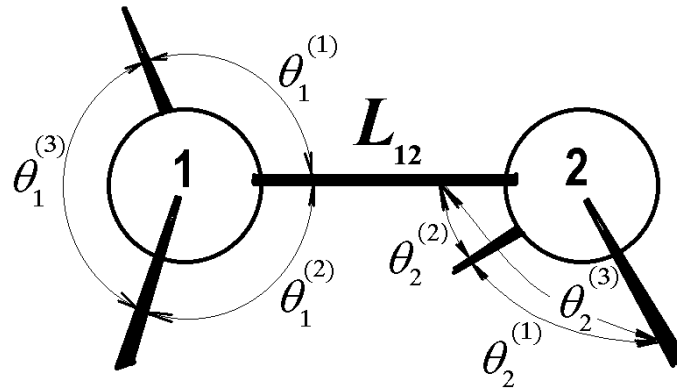
$$U(L_{ij}, \theta_i, \theta_j) = q(L_{ij}, \theta_i) \cdot q(L_{ij}, \theta_j) \cdot u_M(L_{ij})$$

$$u_M(R) = D_e \left[ \exp\{-2\beta(R - R_e)\} - 2 \exp\{-\beta(R - R_e)\} \right]$$

$$q(R, \theta) = \frac{2}{1 + \exp\{-z(R, \theta)\}}$$

L.N.Yakub, *J. Low Temp Phys.*, **122**, 501 (2001)

# Расчеты Монте-Карло



$$z(\mathbf{R}, \boldsymbol{\theta}_i) = \alpha(\mathbf{R} - \mathbf{R}_e)^2 + \gamma(c_i - c_e)^2 + \delta(\mathbf{R} - \mathbf{R}_e)(c_i - c_e) + \varepsilon(1 - 4c_i)\Delta_i$$

$$c_i = \frac{1}{3} \left( \cos^2 \theta_i^{(1)} + \cos^2 \theta_i^{(2)} + \cos^2 \theta_i^{(3)} \right)$$

$$\Delta_i = \left[ \cos^2 \theta_i^{(1)} - \cos^2 \theta_i^{(2)} \right]^2 + \left[ \cos^2 \theta_i^{(1)} - \cos^2 \theta_i^{(3)} \right]^2 + \left[ \cos^2 \theta_i^{(2)} - \cos^2 \theta_i^{(3)} \right]^2$$

L.N.Yakub, *J. Low Temp Phys.*, **122**, 501 (2001)

# Расчеты Монте-Карло

Семь параметров модели  $D_e$ ,  $R_e$ ,  $\alpha$ ,  $\beta$ ,  $\gamma$ ,  $\delta$  и  $\varepsilon$  были найдены на основе *ab initio* расчетов (Mailhiot, Yang, & McMahan, 1992)

Они воспроизводят:

- 1) энергию *cubic gauche* структуры как функцию объема при  $T=0$ ;
- 2) равновесные углы между связями;
- 3) изменение полной энергии с изменением углов от  $103^\circ$  до  $114^\circ$

$D_e/k$ , К	$R_e$ , Å	$\alpha$ , (Å) <sup>-2</sup>	$\beta$	$\gamma$	$\delta$ , (Å) <sup>-1</sup>	$\varepsilon$
35570	1.374	12.0	6.133	-14.25	-16.0	-118

L.N.Yakub, *J. Low Temp Phys.*, **122**, 501 (2001)

# Уравнение состояния по данным Монте-Карло

## Модифицированная модель Ми-Грюнайзена

(кристалл *cubic gauche*)

Свободная энергия Гельмгольца:

$$F = F^{(h)} + \Delta F^{(anh)}$$

$$F^{(h)} = U^{(0)} + 3RT D_F(x_D)$$

$$D_F(x_D) = \frac{3}{x_D^3} \int_0^{x_D} \ln(1 - e^{-x}) x^2 dx$$

$$x_D = \frac{\theta_D}{T}$$

$$\frac{\partial \ln \theta_D}{\partial \ln \rho} = \gamma_0 \left( 1 - \frac{\rho}{\rho_0} \right)$$

$\gamma_0$  и  $\rho_0$  – параметры модели

L.N.Yakub, *FNT.*, 29,1032( 2003)



# Уравнение состояния по данным Монте-Карло

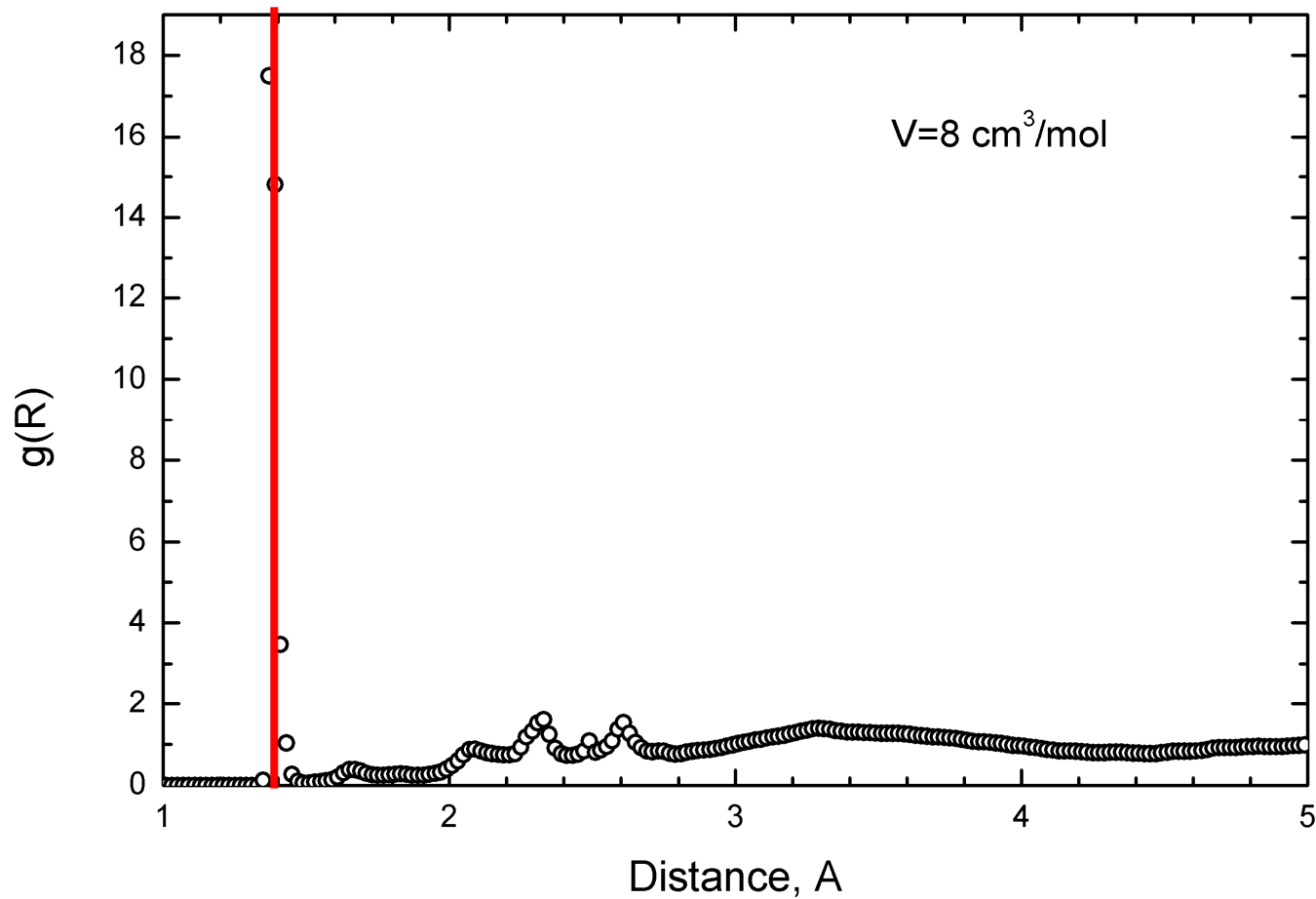
Избыточная энтропия аморфного полимерного азота

$$S = S^{(1)} + \Delta S^{(2)} + \Delta S^{(3)} + \dots$$

$$\Delta S^{(2)} / k = -2\pi\rho \int \left\{ g(R) \ln g(R) - [g(R) - 1] \right\} R^2 dR$$

L.N.Yakub, *FNT.*, 35,423 (2009)

# Уравнение состояния по данным Монте-Карло



L.N.Yakub, *FNT.*, 35,423 (2009)

# Уравнение состояния по данным Монте-Карло

Избыточная энтропия аморфного полимерного азота

$$S = S^{(1)} + \Delta S^{(2)} + \Delta S^{(3)} + \dots$$

$$\Delta S^{(2)} / k = -2\pi\rho \int \{ g(R) \ln g(R) - [g(R) - 1] \} R^2 dR$$

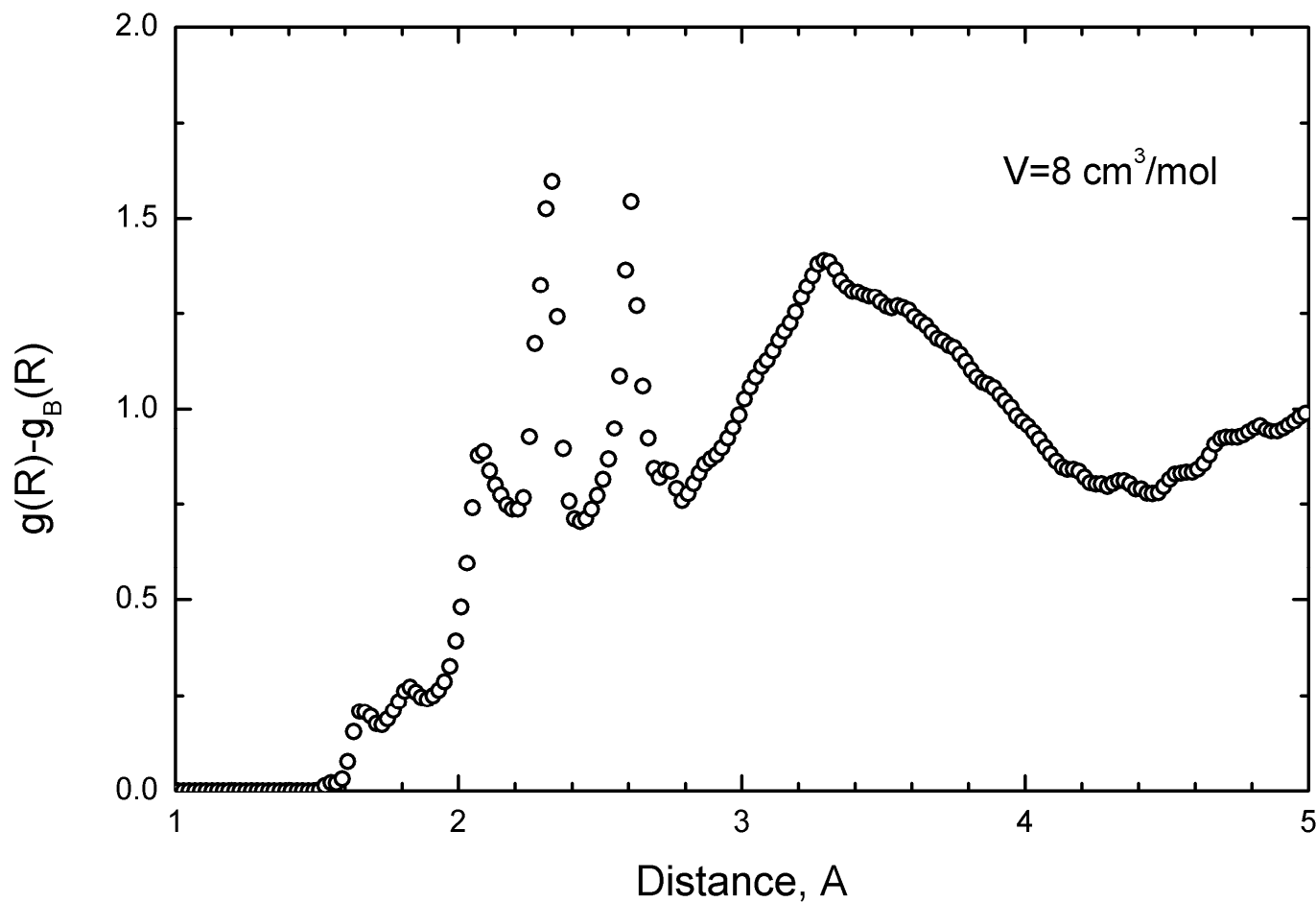
$$\Delta S_{non-B}^{(2)} / k = -2\pi\rho \int \{ g_{non-B}(R) \ln g_{non-B}(R) - [g_{non-B}(R) - 1] \} R^2 dR$$

$$\Delta S_B^{(2)} / k = -2\pi\rho \int \{ g_B(R) \ln g_B(R) - g_B(R) \} R^2 dR$$

$$4\pi\rho \int g_B(R) R^2 dR = \nu$$

L.N.Yakub, *FNT.*, **35**,423 (2009)

# Уравнение состояния по данным Монте-Карло



L.N.Yakub, *FNT.*, 35,423 (2009)

# Уравнение состояния по данным Монте-Карло

Избыточная энтропия аморфного полимерного азота

$$\frac{\Delta S_B^{(2)}}{k} \simeq \frac{v}{4} \left( 3 + \ln \left[ \frac{16\pi^3 \rho^2 L^4}{\alpha v^2} \right] \right).$$

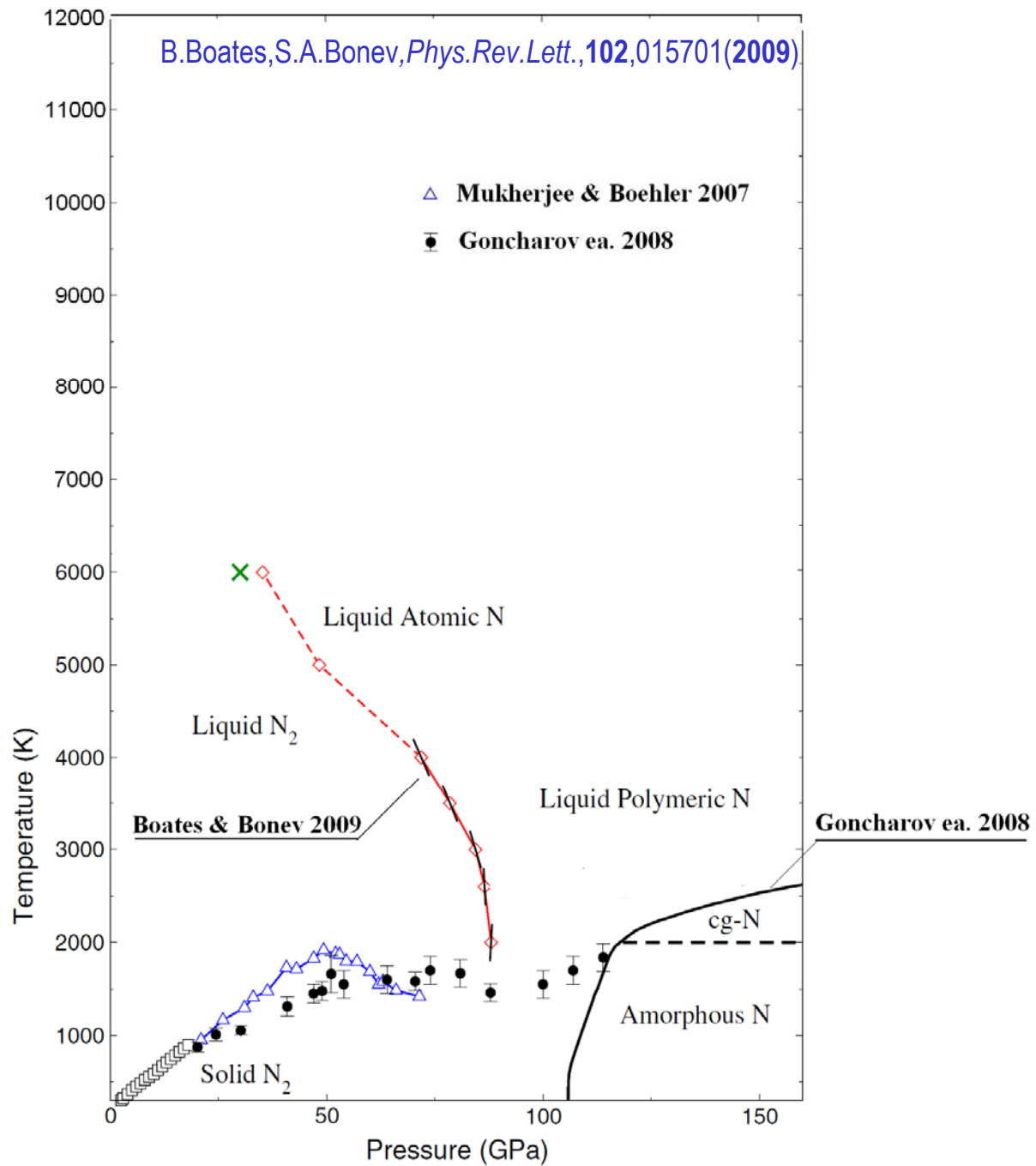
$L$	$\alpha$	$A$	$\Delta S_{\text{non-B}}^{(2)}/k$	$\Delta S_B^{(2)}/k$	$\Delta S^{(2)}/k$
<b>1.37</b>	<b>1650</b>	<b>19.33</b>	<b>-3.08</b>	<b>-2.19</b>	<b>-5.27</b>

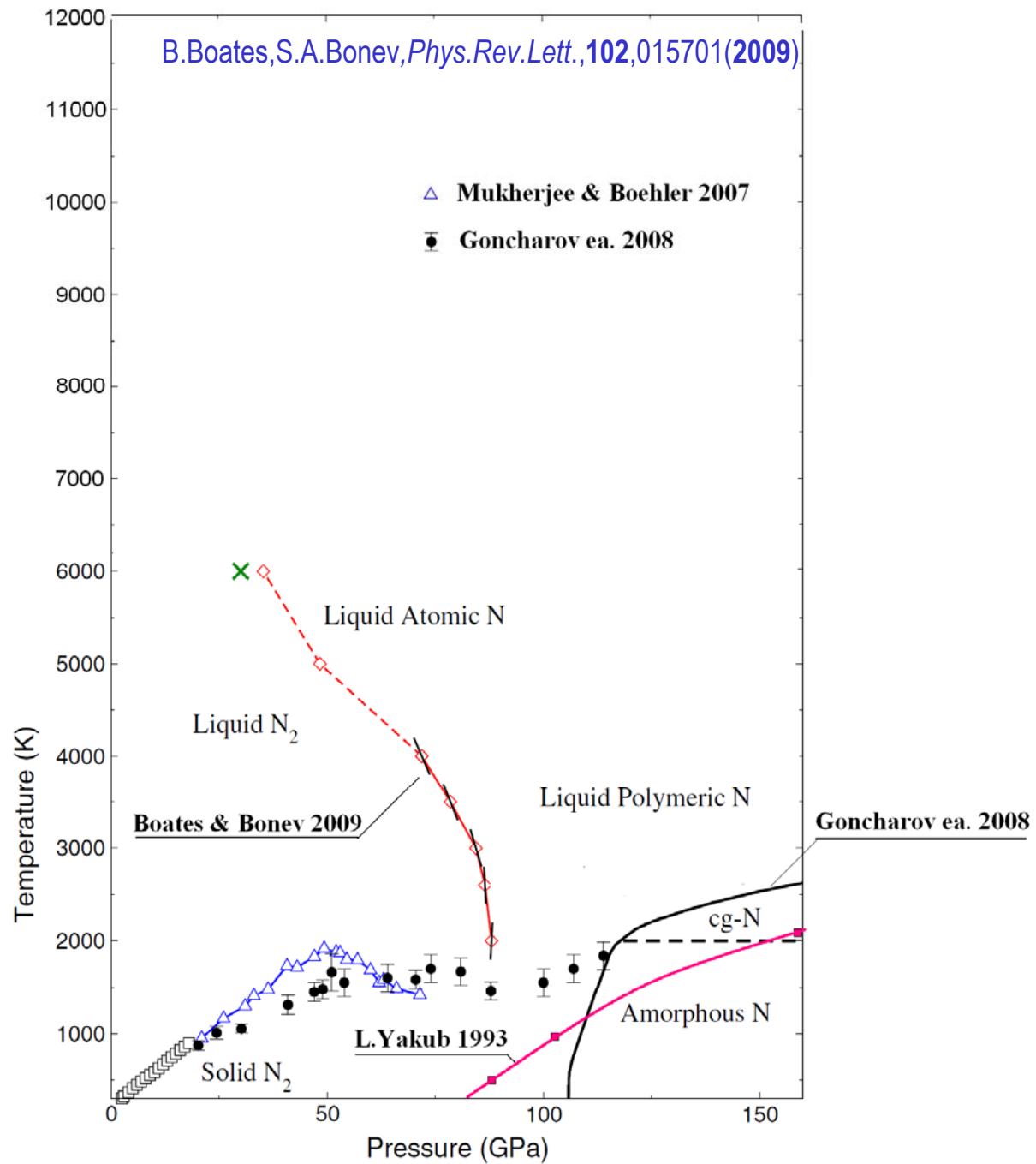
$$\frac{\partial S}{\partial V} = \frac{\partial P}{\partial T} \quad P_T = T \frac{\partial P}{\partial T}$$

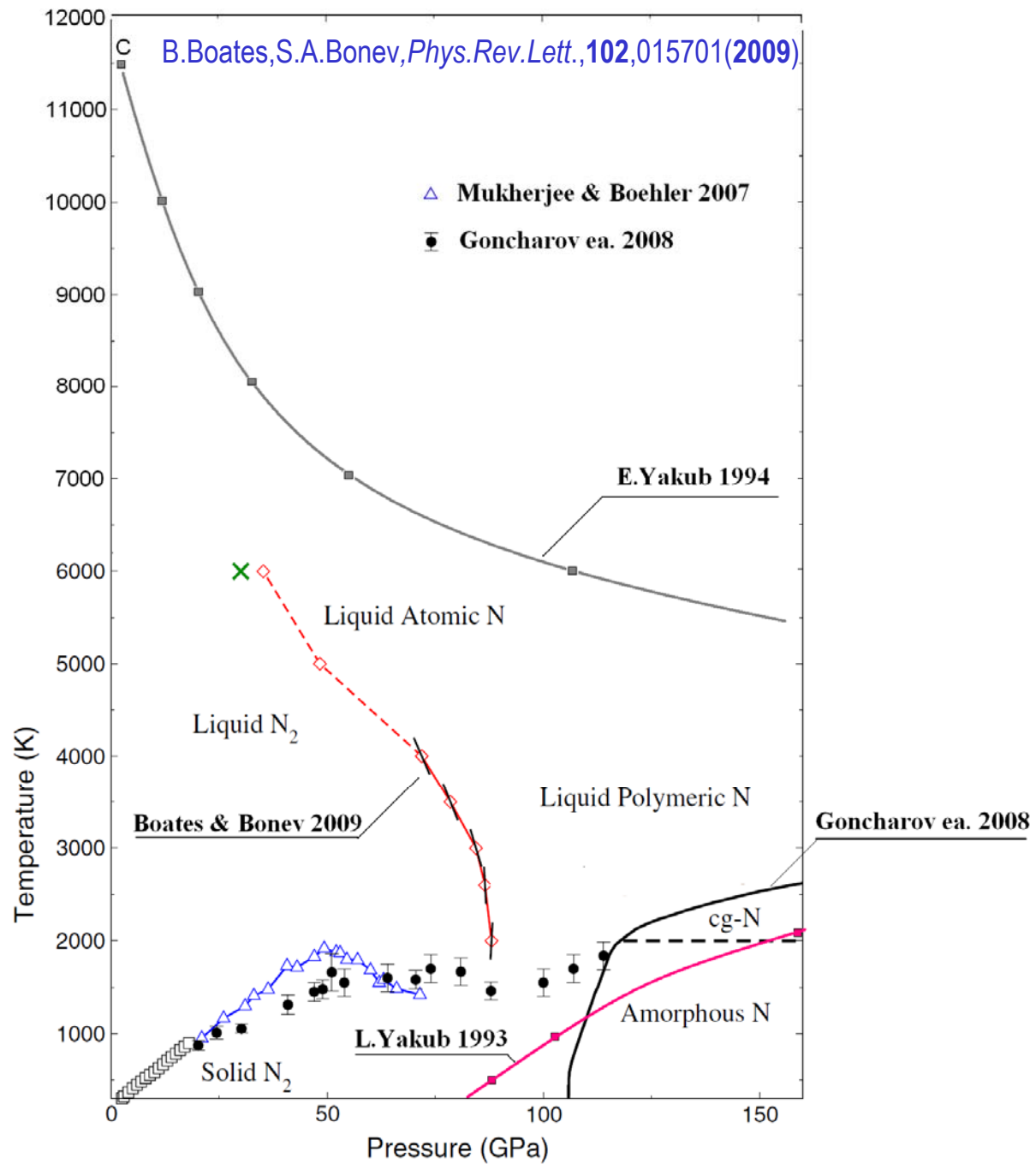
$$6...8 \text{ cm}^3/\text{mol} P_T = -65 \text{ MPa}$$

MC: -160 MPa (6 cm<sup>3</sup>/mol)  
-45 MPa (8 cm<sup>3</sup>/mol).

L.N.Yakub, *FNT.*, **35,423 (2009)**



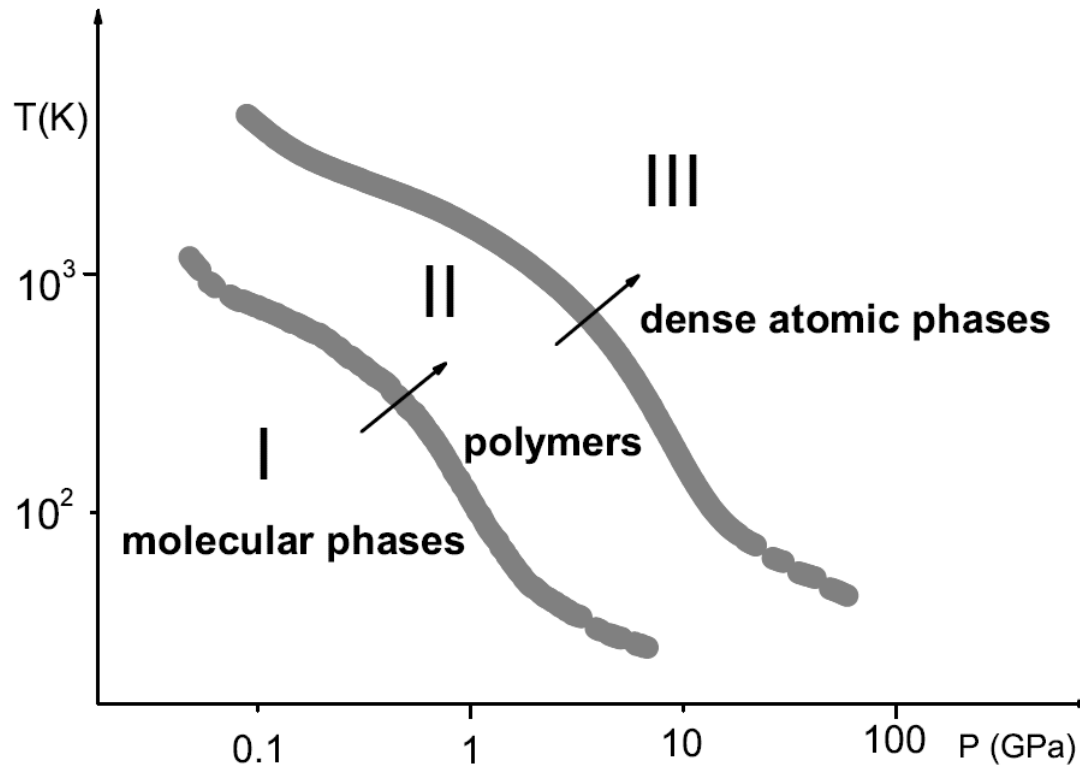






# Полимерные структуры как метастабильные состояния

В.В.Бразжкин, 2006



V. V. Brazhkin. UFN, 176, 745 (2006)

# Заключение

- что принесли последние 20 лет?

- **1.** Немолекулярный (атомарный/полимерный) азот таки да существует!
- **2.** Должна существовать вторая критическая точка перехода молекулярный - немолекулярный флюид
- **3.** Всем немолекулярным фазам свойственно отрицательное тепловое расширение
- **4.** Есть основания полагать, что полимеризация в азоте - не исключение, а общее свойство конденсированной фазы всех сильно сжатых простых веществ в преддверии перехода в металлическую (проводящую) фазу в области высоких температур.

Danke

谢谢您

***Благодарю за внимание!***

Bedankt

Grazie

Merci

谢谢您

Takk

Obrigado

Gracias